

Inmunoterapia en infección fúngica

Pedro Puerta Alcalde

Servicio de Enfermedades Infecciosas,
Hospital Germans Trias i Pujol

 **Fundació**
Lluita contra les
Infeccions

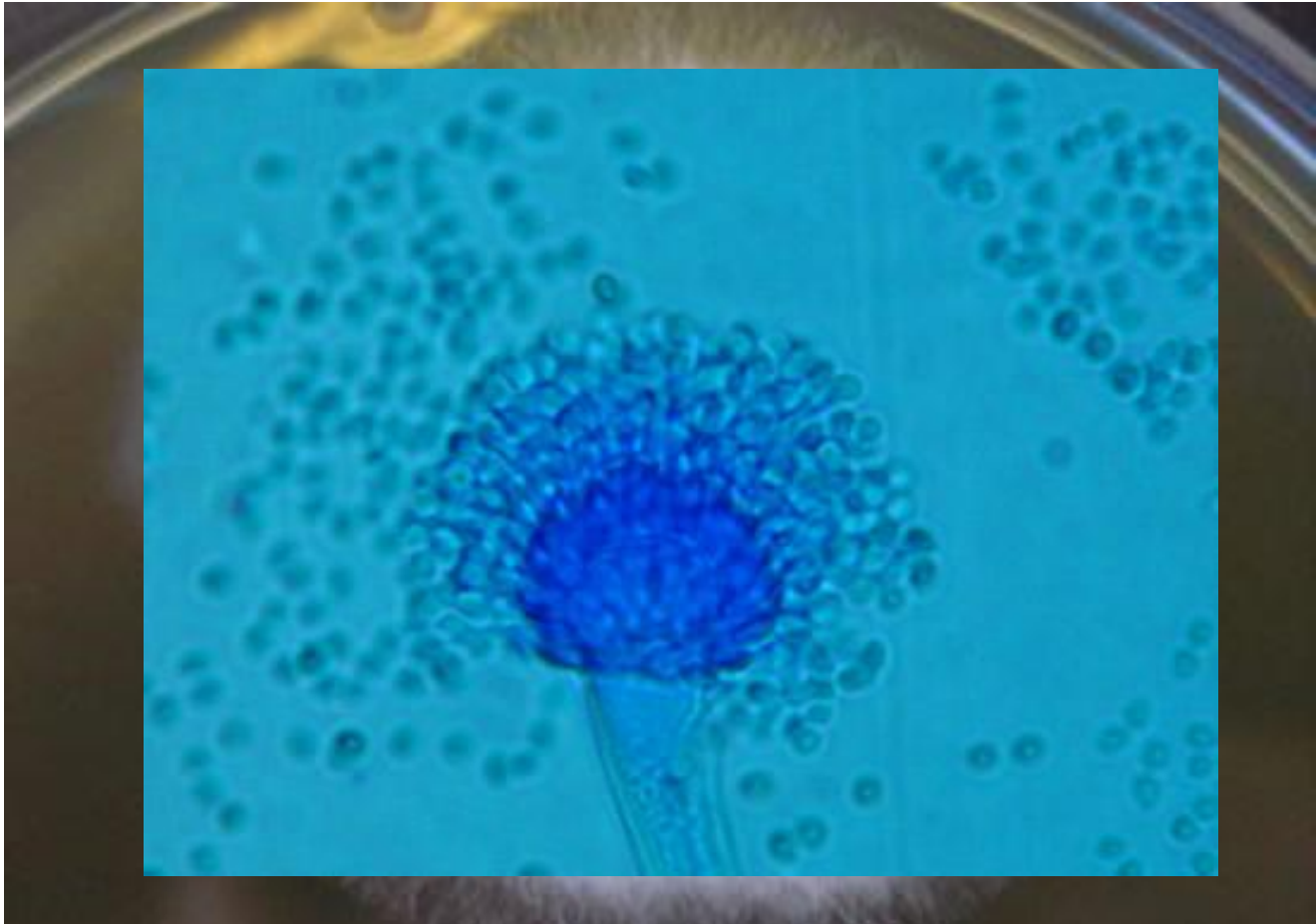


- **Problemática actual de la infección fúngica invasora**

- 1. Nuevos huéspedes susceptibles a presentar infección fúngica**
- 2. Hay un aumento de las IFIs causadas por hongos raros y multirresistentes asociados a gran mortalidad (IFI de brecha)**
- 3. Los antifúngicos actuales están asociados a importantes toxicidades, costes, e interacciones farmacológicas**
- 4. La eficacia clínica de los antifúngicos es subóptima o incluso nula si no se recupera la inmunidad**

- **Respuesta inmunológica en la infección fúngica**

Aspergillus spp.



Ubícuo (suelo, polvo, agua, materia orgánica en descomposición...)

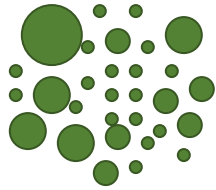
Aspergillus spp.

Esporas (conidias): 1-100 por m³

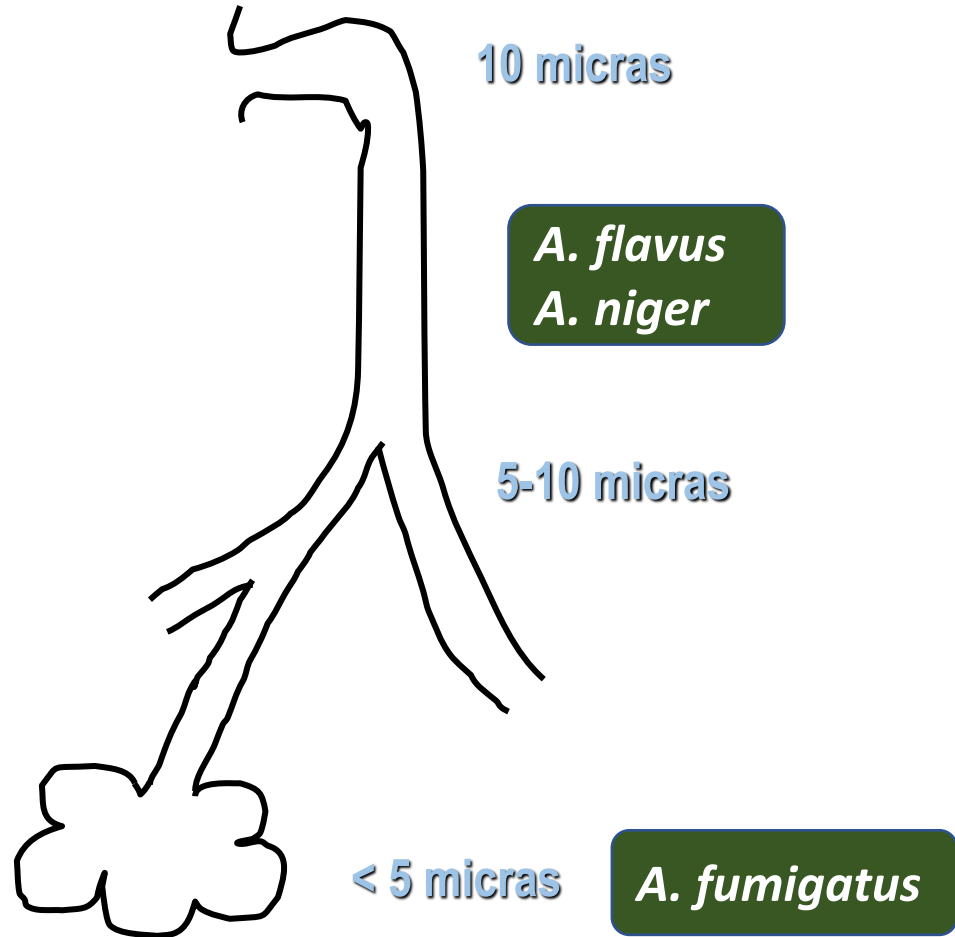
A. fumigatus, 3 micras
A. flavus, 8 micras

Ubícuo (suelo, polvo, agua, materia orgánica en descomposición...)

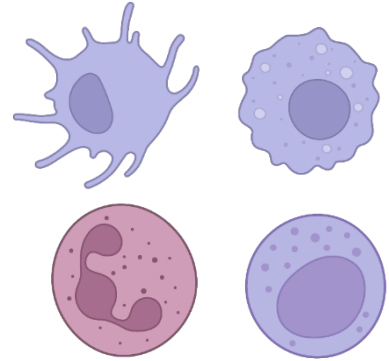
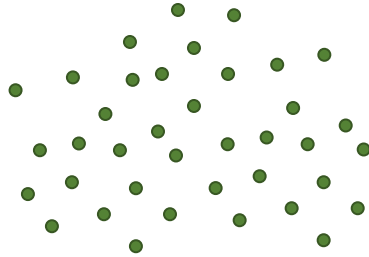
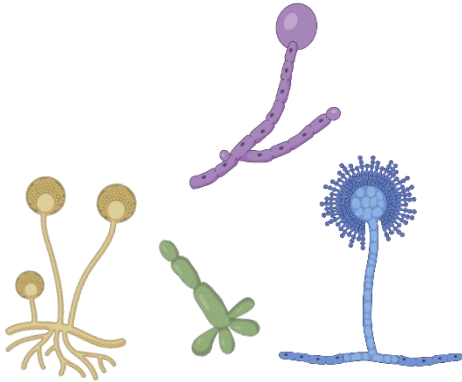
Esporas (conidias) ambientales



≥ 10 micras



Innate immunity



Pathogen Associated Molecular Patterns:
 β -glucan, zymosan,
 chitin, LPS, mannan...

PAMPs

PRRs

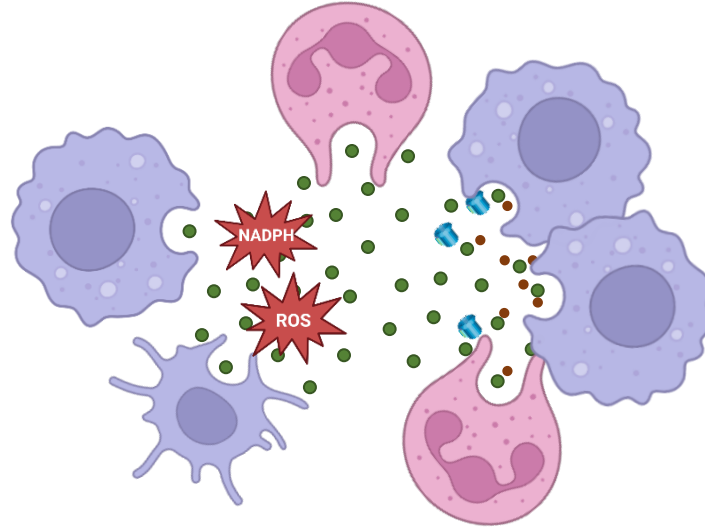
Pattern Recognition Receptors:
 Toll like receptors (TLRs), C-type lectin receptors (CLRs), Nod-like receptors (NLRs), Mannose binding receptors (MBRs)...

Innate immunity

PAMPs

PRRs

Phagocytosis
+
Release of
antimicrobial
components

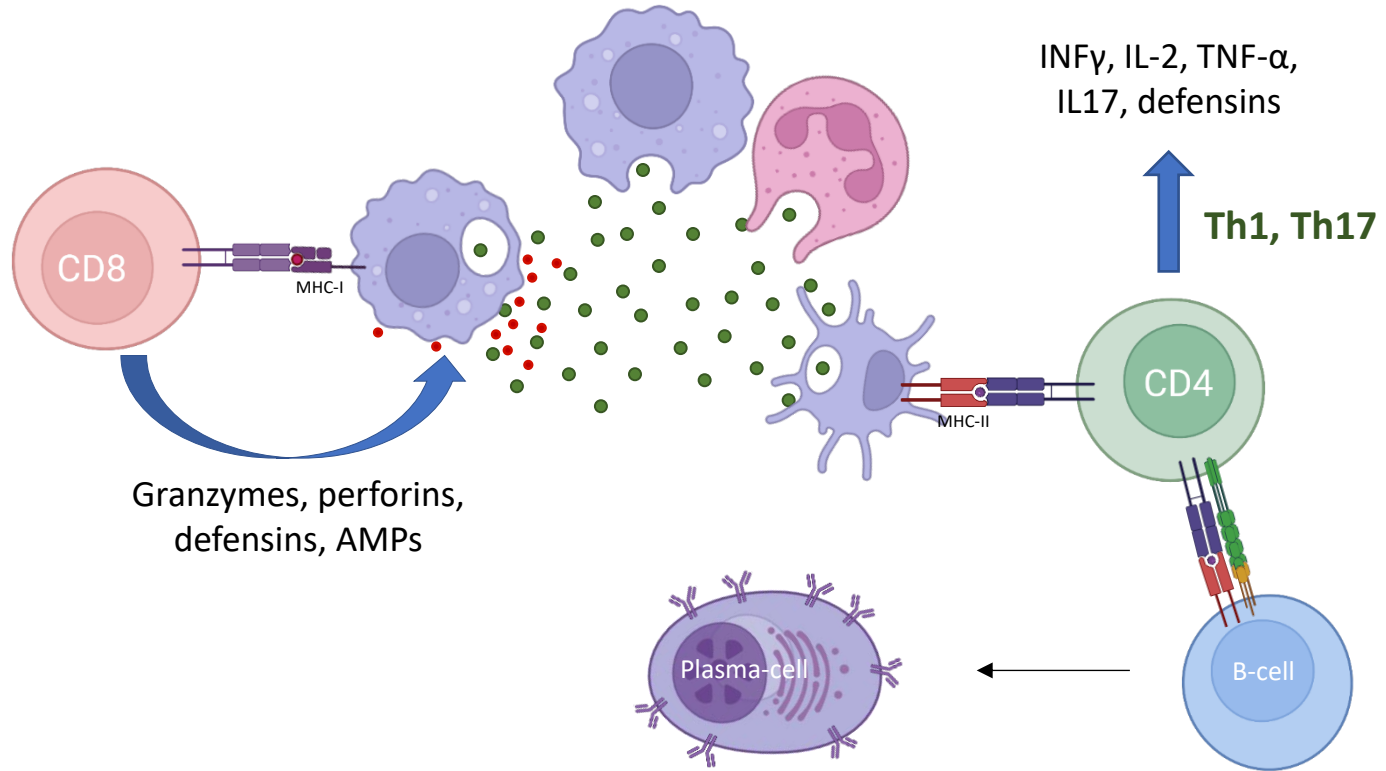


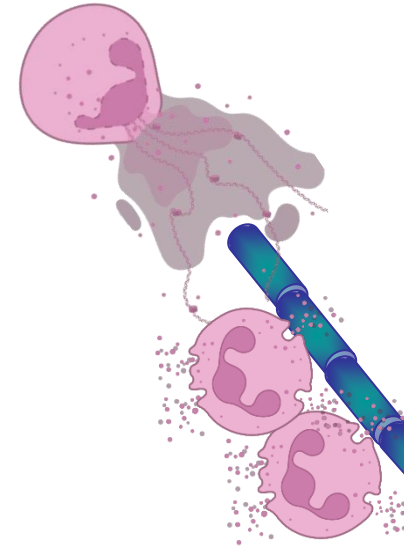
Humoral component

Complement
system, antifungal
peptides, collectins
defensins

Opsono-
phagocytosis

Adaptative immunity

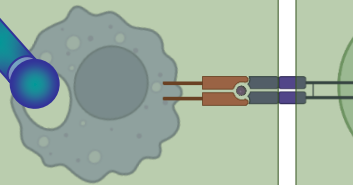




**Germinación y
producción de hifas**

Daño alveolar macrofágico

Gripe, EPOC,
FQ,
corticoides,
cirrosis,
malnutrición



Linfopenia

Linfocitos
totales <600 o
CD4+ <200



Aspergilosis pulmonar crónica

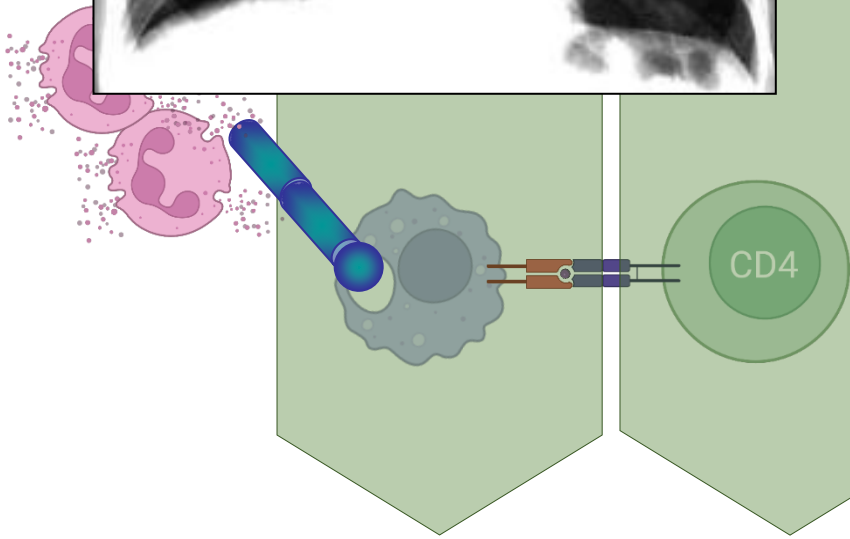


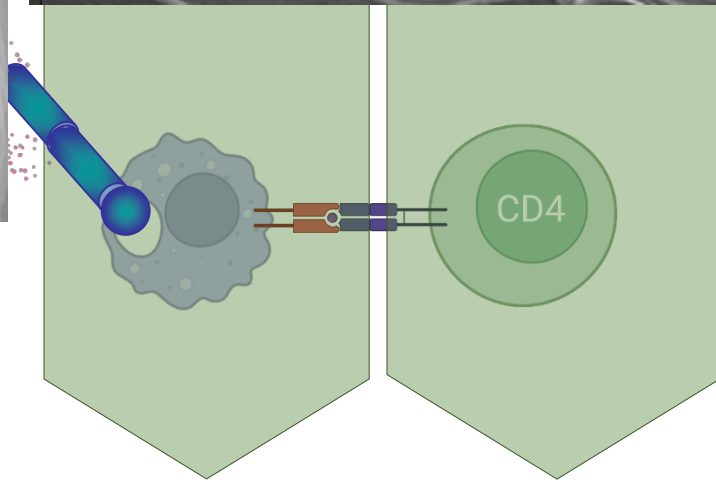
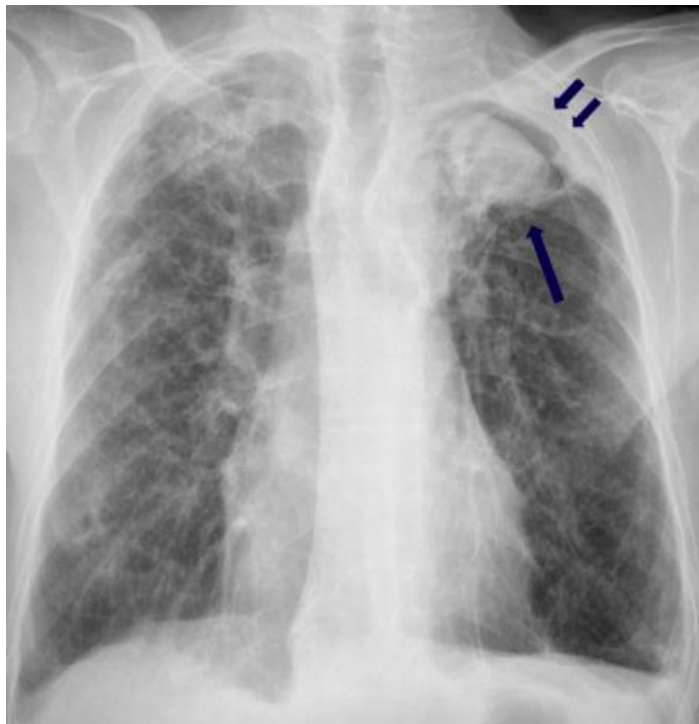
penia

ocitos

<600 o

<200

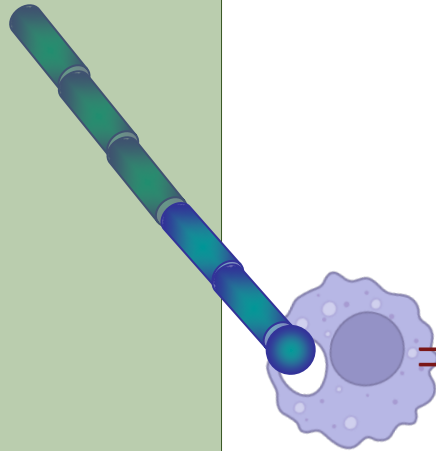




Aspergiloma

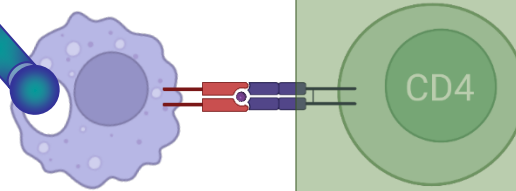
Neutropenia

Enfermedad granulomatosa crónica



Linfopenia

Linfocitos totales <600 o
CD4+ <200



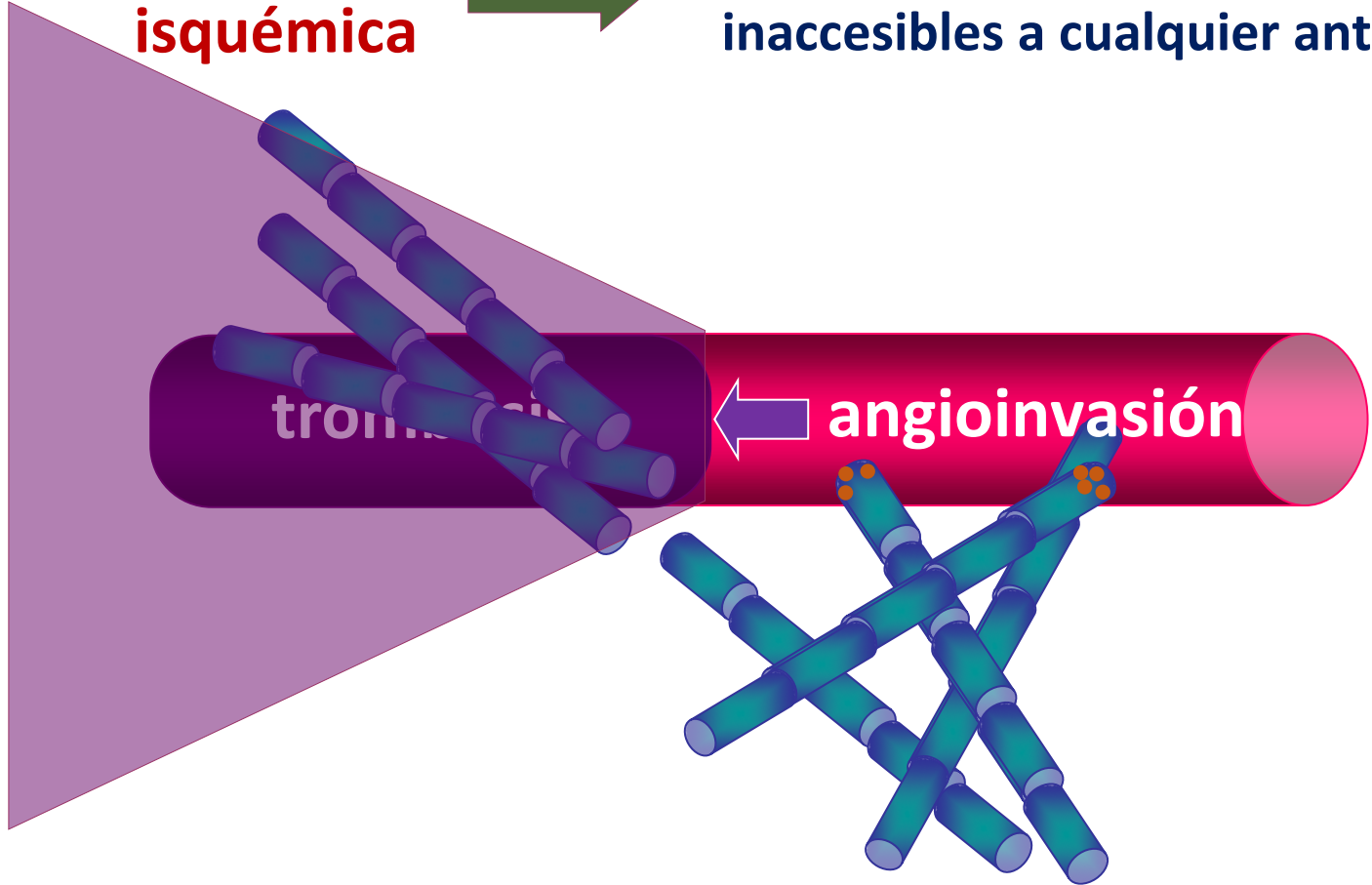
Liberación de enzimas proteolíticas capaces de degradar cualquier material orgánico (celulosa, quitina, queratina, lignina...)

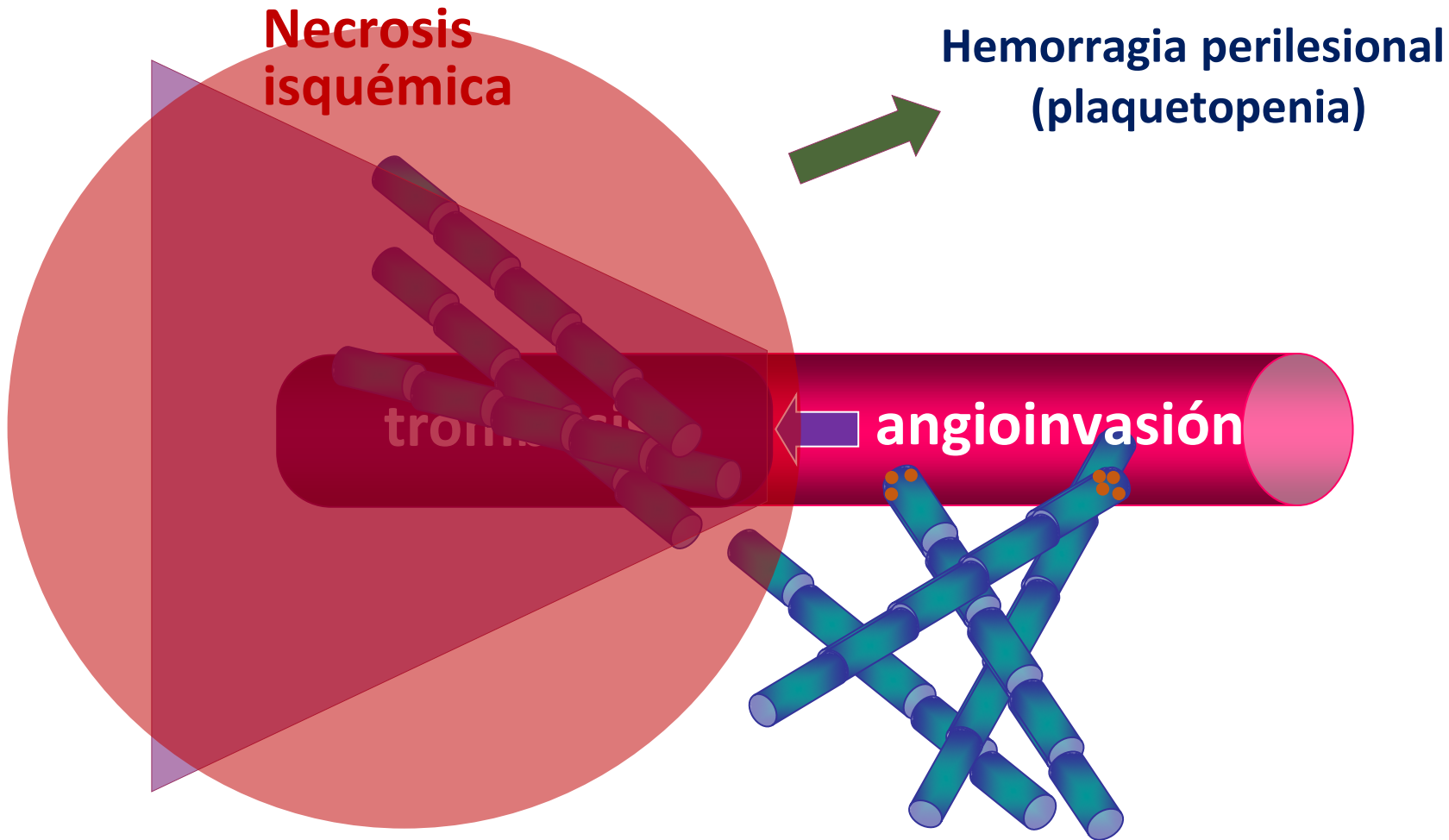


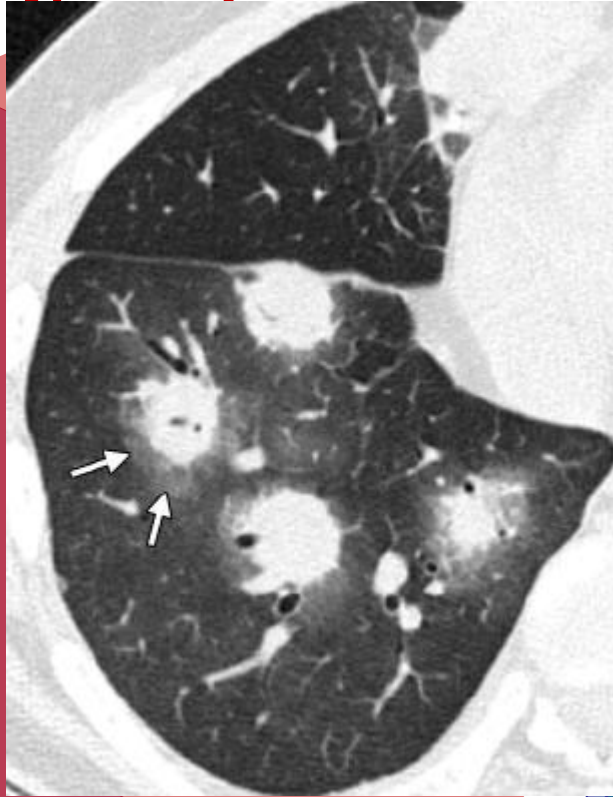
**Necrosis
isquémica**



**Desarrollo de espacios avasculares
inaccesibles a cualquier antifúngico**







Aspergillosis pulmonar invasiva

angioinvasión

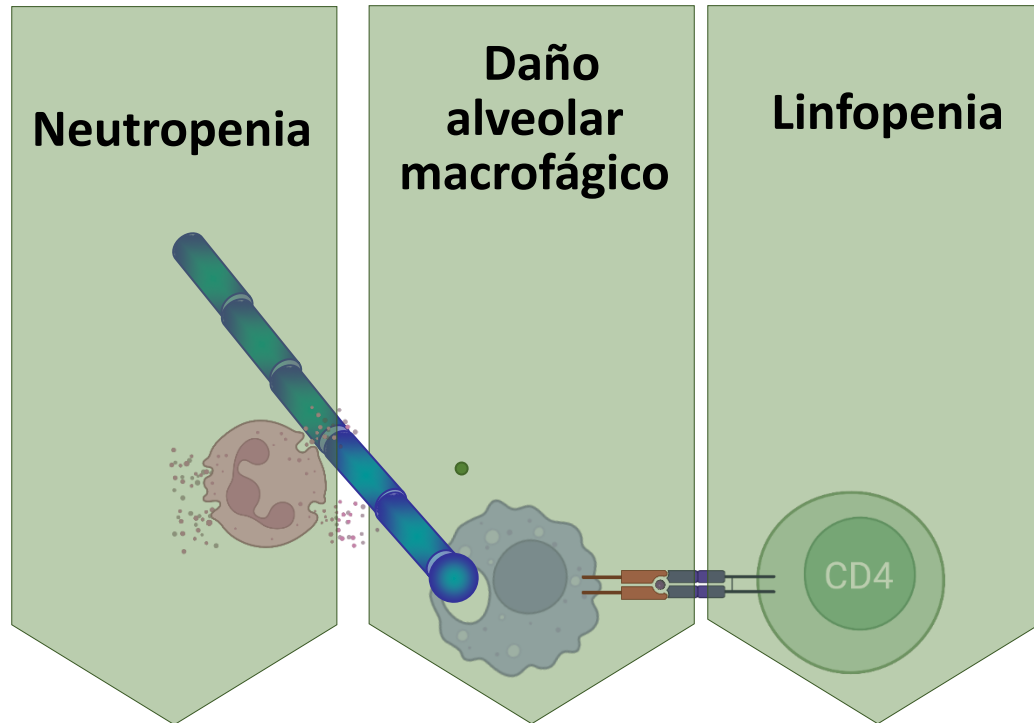


Con angioinvasión

- nódulos-masas con halo
- signo de la media luna
- diseminación sistémica
- **AGA en suero ≥ 0.5 ...**

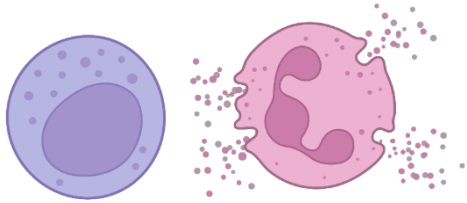
Sin angioinvasión

- cavitación/fibrosis crónica
- IgG (precipitinas) frente a *Aspergillus*
- **AGA en BAL ≥ 1**

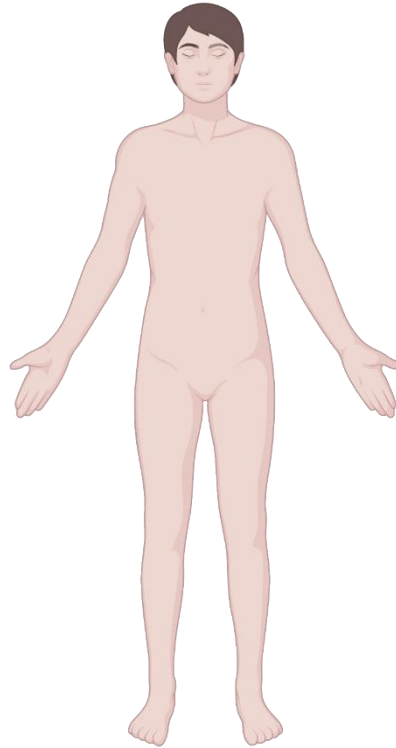


- **Inmunoterapia en infección fúngica**

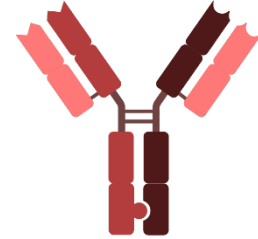
Non-specific Immune stimulation



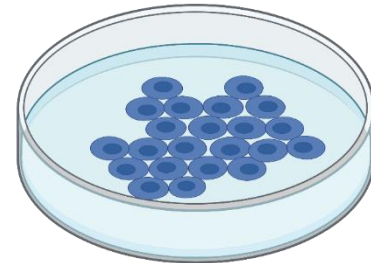
Vaccination strategies

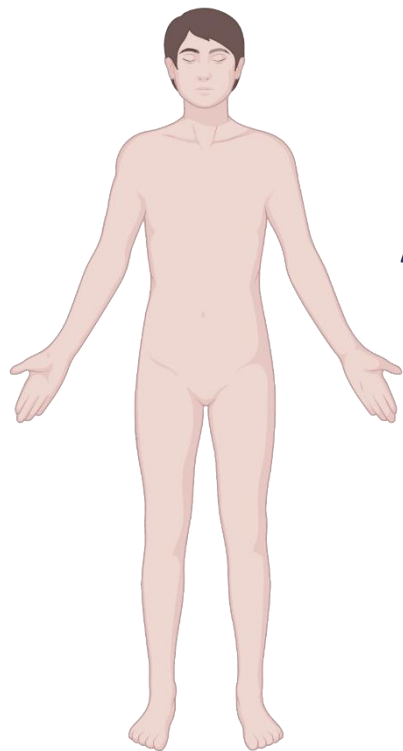


Monoclonal antibodies

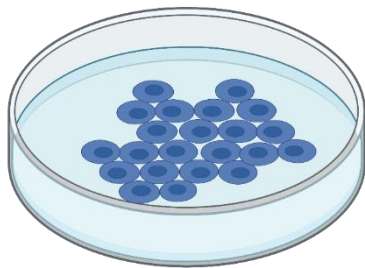


Adoptive cell transfer



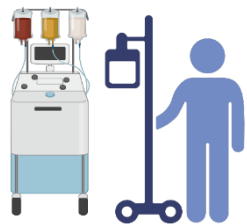


Adoptive cell transfer

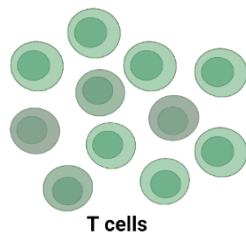


**SPECIFIC T-CELL
INFUSION**

**CHIMERIC ANTIGEN
RECEPTOR THERAPY**



1. Apheresis

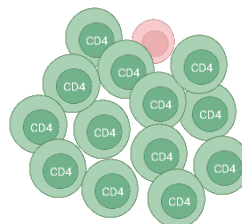


T cells

2. T-cell collection



Asp specific CD4-cells (1:200)



3. CD8 and Treg depletion

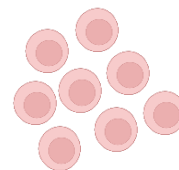


Lysate

4. Fungal antigen presentation



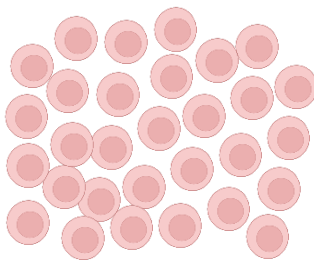
Based on Th1 response



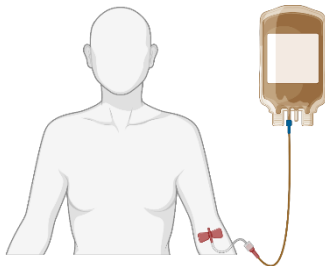
5. Selection of fungal specific T-cells



Through cytokine stimulus



6. *Ex-vivo* expansion



7. Patient infusion

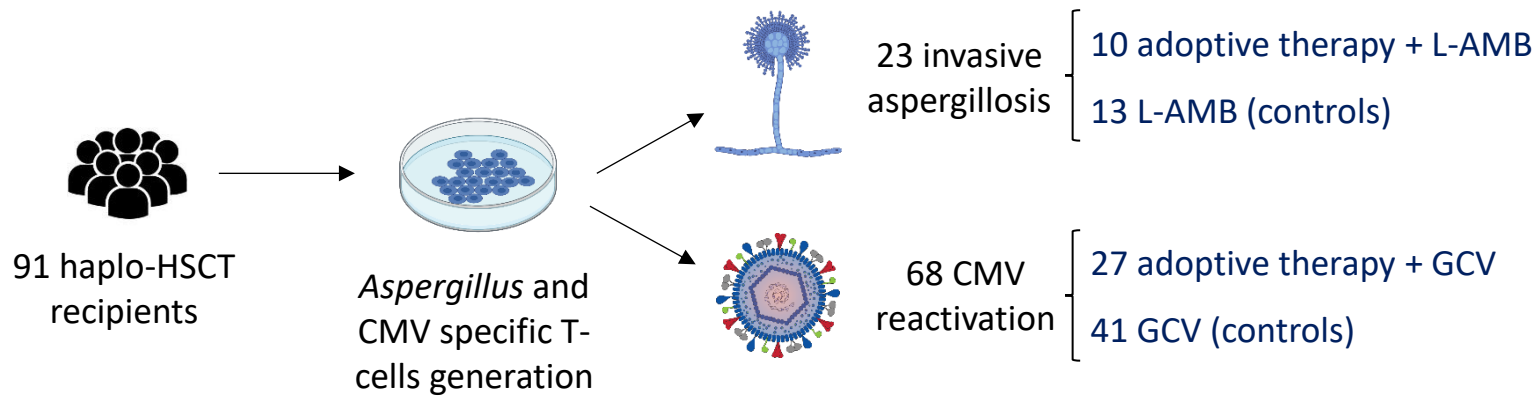


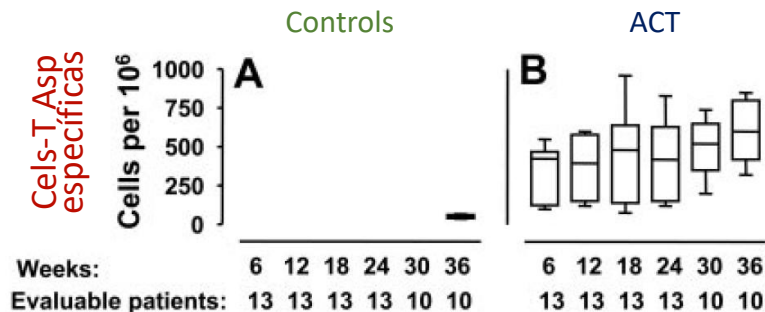
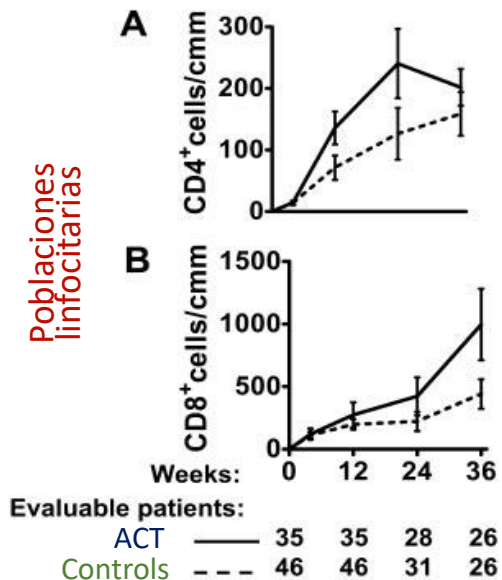
Table 2. Invasive aspergillosis in 13 patients who did not receive *Aspergillus*-specific T-cell therapy

Patient no.	Invasive aspergillosis	Galactomannan antigenemia at diagnosis, ng/mL*	Galactomannan antigenemia under amphotericin therapy, † ng/mL	Outcome (time after diagnosis, wk)
1	P: mult/bilat	4.5 ± 0.7	3.1 ± 0.3	✗ Death (5)
2	P: monolat	3.5 ± 0.6	3.6 ± 0.6	✗ Death (7)
3	P: mult/bilat	1.9 ± 0.1	1.4 ± 0.1	✗ Death (4)
4	P: mult/bilat + pl eff	4.1 ± 0.2	3.3 ± 0.5	Resolution (17)
5	P: mult/bilat	3.1 ± 0.1	1.5 ± 0.06	Resolution (4)
6	P: mult/bilat	1.8 ± 0.4	2.6 ± 0.6	Resolution (4)
7	P: mult/bilat	4.7 ± 0.4	2.7 ± 1.3	✗ Death (5)
8	P: mult/bilat	2.8 ± 0.3	2.3 ± 0.8	✗ Death (4)
9	P: monolat	2.9 ± 0.3	3.0 ± 0.15	Resolution (4)
10	P: monolat + pl eff	3.9 ± 0.3	3.3 ± 0.7	Resolution (5)
11	P: monolat + pl eff	1.8 ± 0.4	2.9 ± 0.5	✗ Death (4)
12	P: mult/bilat	2.9 ± 0.2	3.3 ± 0.6	Resolution (5)
13	P: monolat + pl eff	3.2 ± 0.2	2.8 ± 0.3	Resolution (6)

Table 3. *Aspergillus*-specific immune reconstitution and outcome of invasive aspergillosis in 10 patients who received *Aspergillus*-specific T-cell therapy

Patient no.	Invasive aspergillosis before cell therapy	Galactomannan antigenemia before T-cell therapy,* ng/mL	Cell therapy, day after transplantation	<i>Aspergillus</i> -specific CD4 ⁺ reconstitution, day after cell therapy	Galactomannan antigenemia after cell therapy, † ng/mL	Outcome (time after diagnosis, wk)
1	P: mult/bilat + pl eff + CNS	3.4 ± 0.6	37	21	0.8 ± 0.1	✗ Death (4)
2	P: mult/bilat + sin	4.2 ± 0.4	23	21	0.3 ± 0.1	Resolution (4)
3	P: mult/bilat + pl eff	1.6 ± 0.5	32	21	0.4 ± 0.1	Resolution (5)
4	P: mult/bilat + pl eff	2.0 ± 0.6	32	21	0.2 ± 0.0	Resolution (12)
5	P: monolat + sin	1.9 ± 0.7	25	21	0.4 ± 0.1	Resolution (14)
6	P: mult/bilat	2.8 ± 0.3	17	21	0.6 ± 0.5	Resolution (5)
7	P: mult/bilat + pl eff + sin	2.1 ± 0.5	17	21	0.8 ± 0.1	Resolution (10)
8	P: mult/bilat	2.2 ± 0.1	21	21	0.7 ± 0.2	Resolution (6)
9	P: monolat	3.1 ± 0.2	21	21	0.6 ± 0.2	Resolution (7)
10	P: mult/bilat	3.1 ± 0.3	21	21	0.4 ± 0.3	Resolution (8)

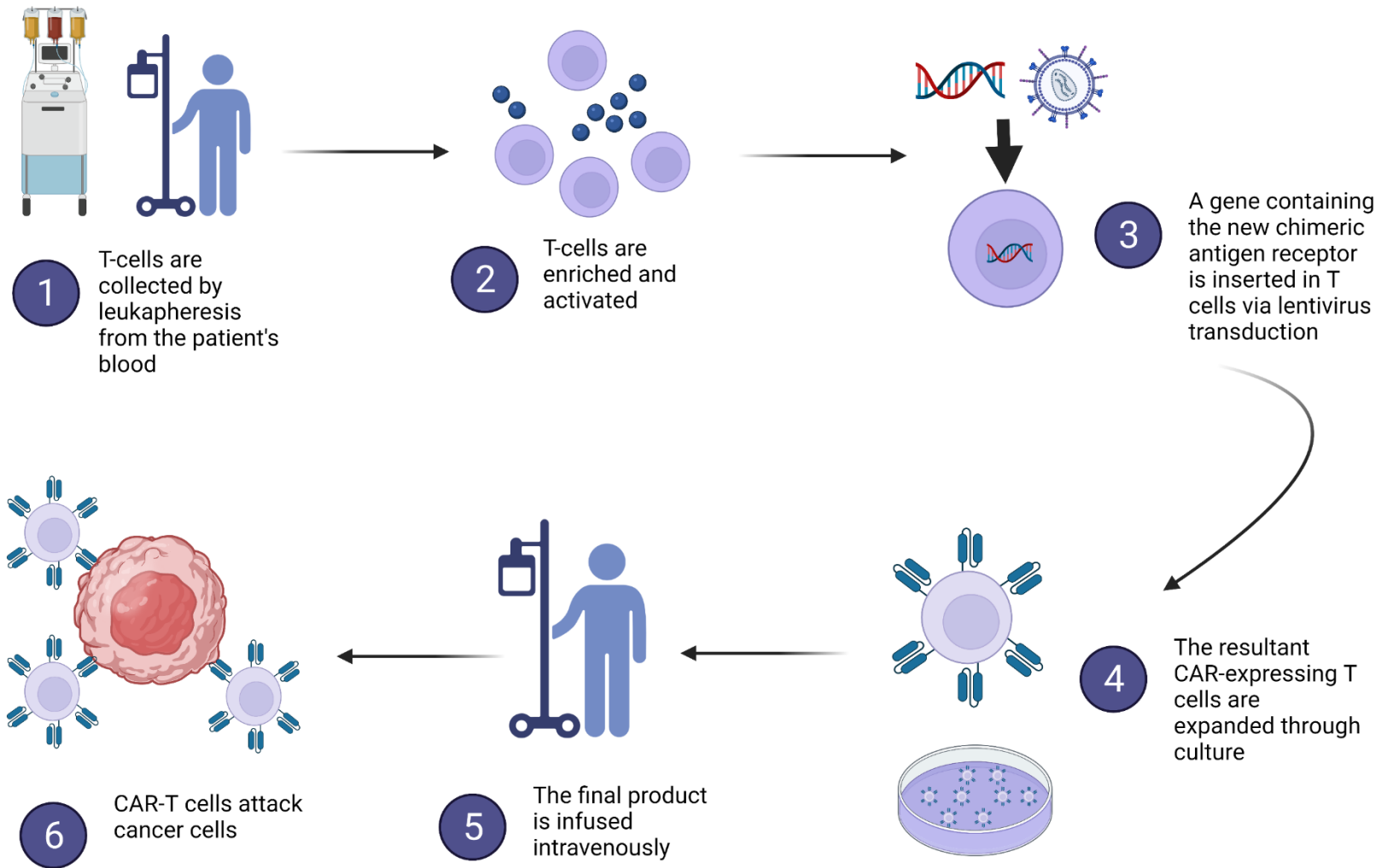
- Mortalidad:
46% vs 10%
- Negativización
más rápida del
AGA
- ↑INF-γ y ↓IL-10



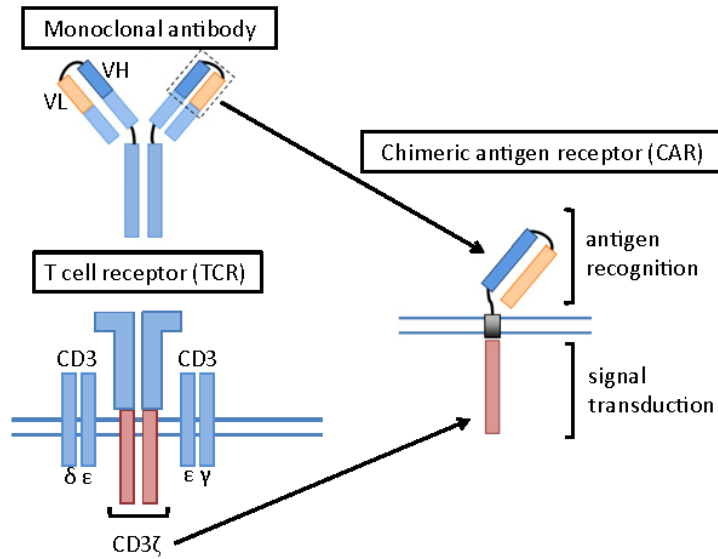
- La recuperación de las células T fue clara y duradera (*in-vivo* expansión)
- Inmunidad T específica

Se han desarrollado nuevos métodos para la obtención más rápida de cels T específicas

Proceso costoso, relativamente largo, y HLA dependiente



(a)



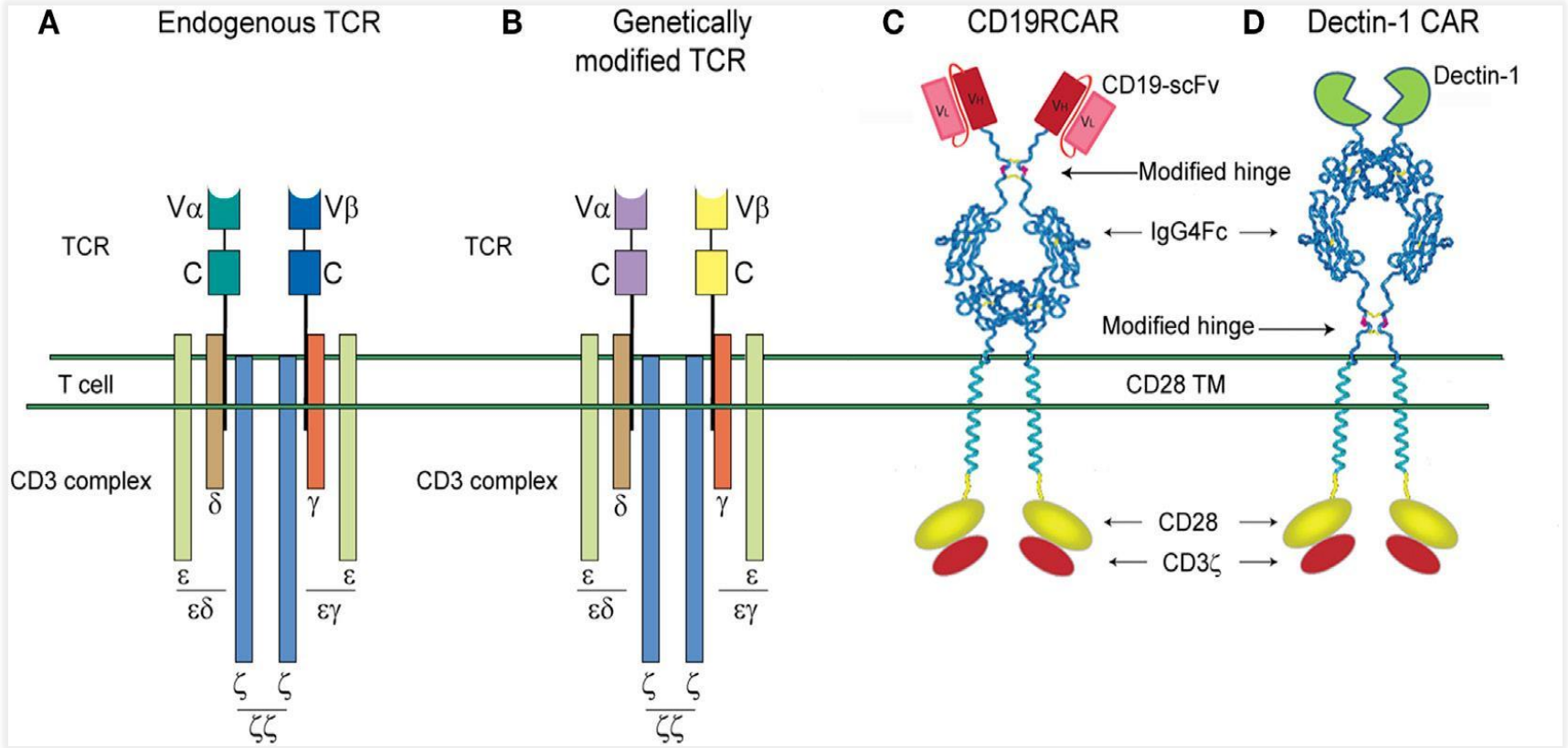
No restringido por el HLA

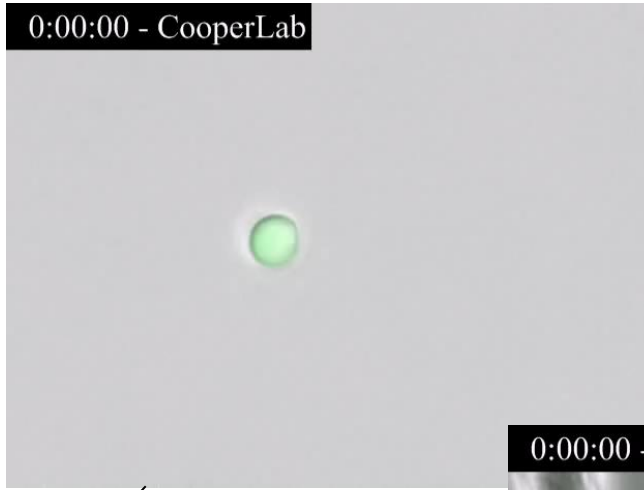
Las células diana tienen poca
capacidad de inmunoeedición

para evadir la detección

El CAR se puede dirigir contra

múltiples antígenos

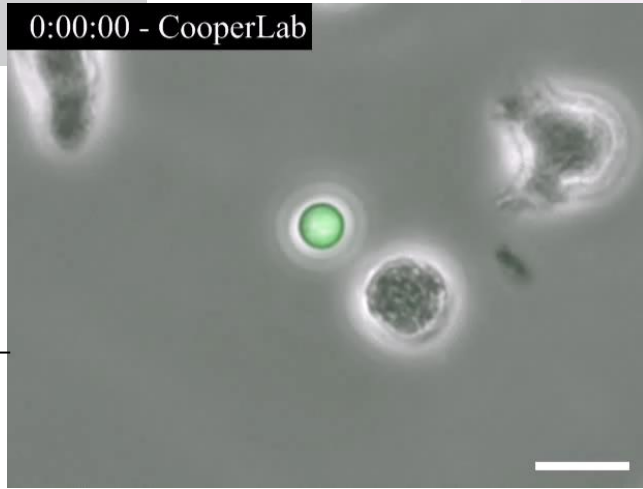




Controls

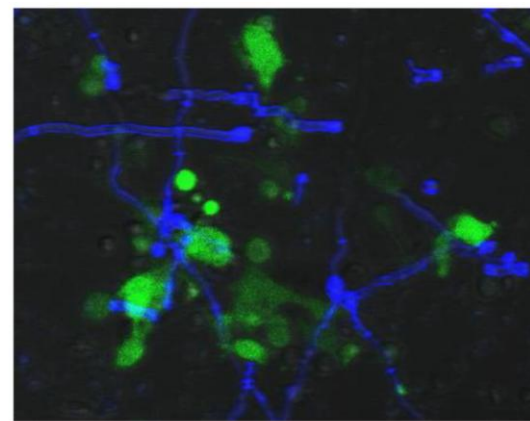
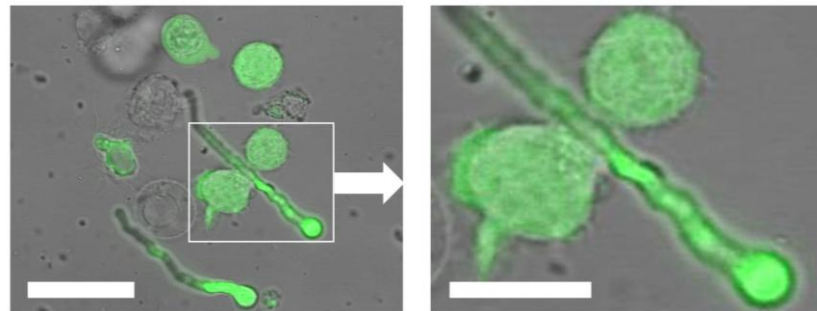
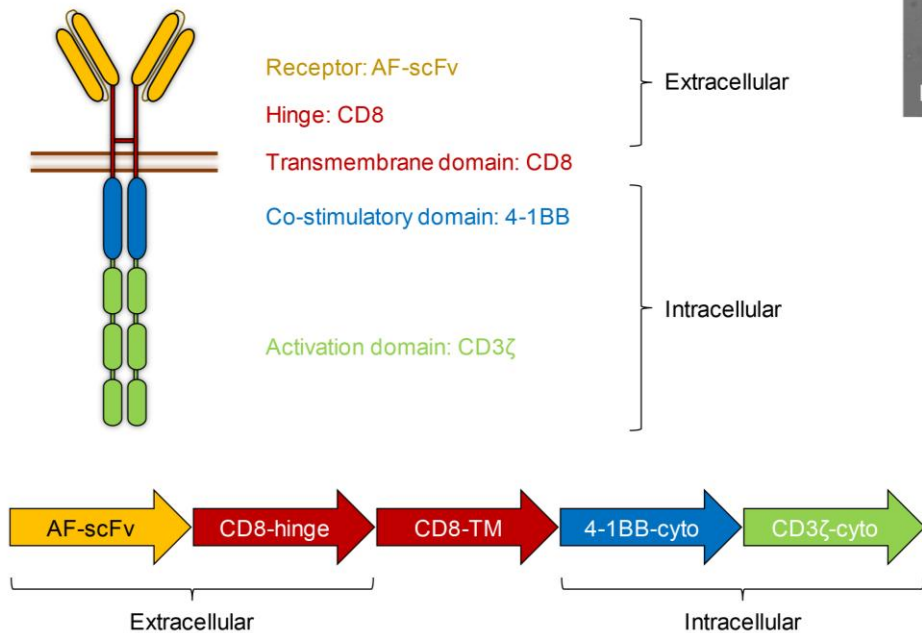


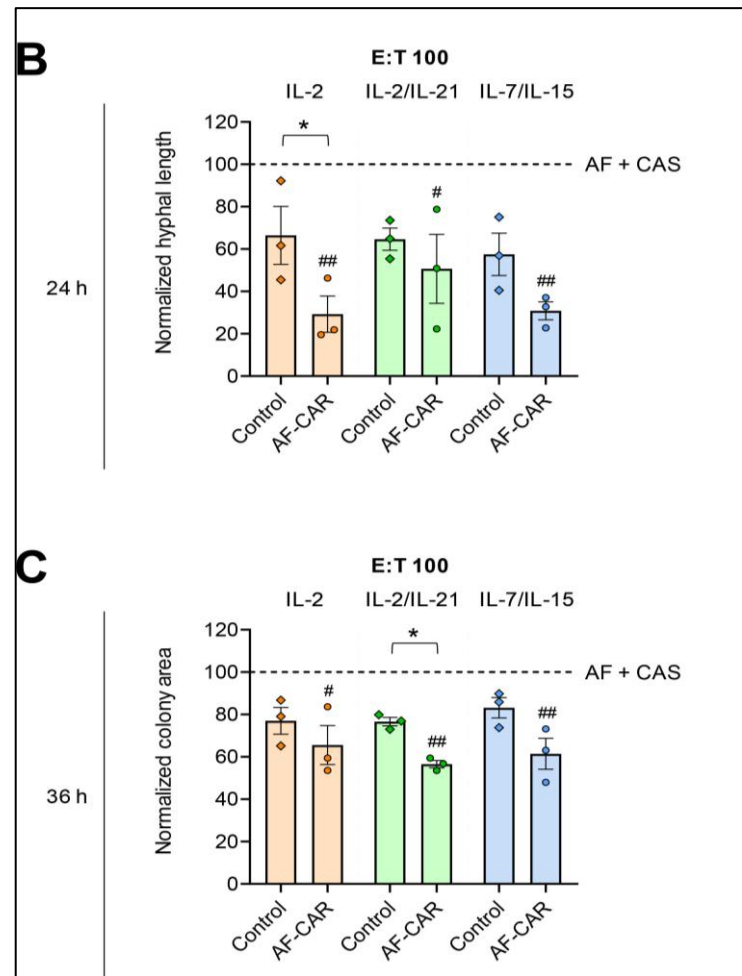
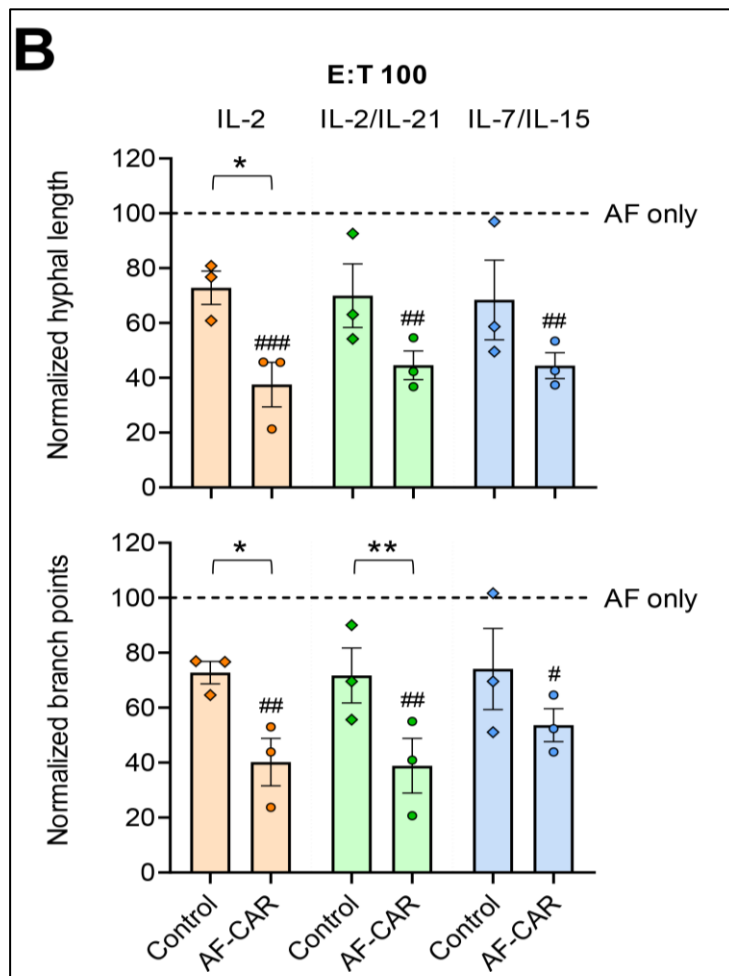
CD19 CAR-T



D-CAR

mAb AF-269-5: IgM-isotype antibody recognizing *Aspergillus* hyphae

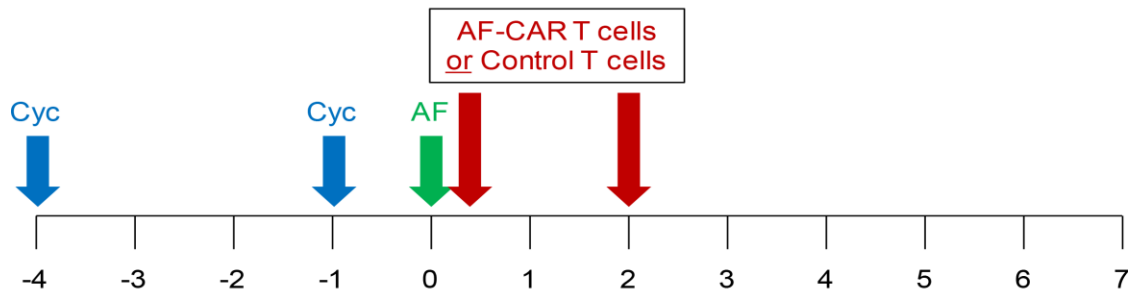




A

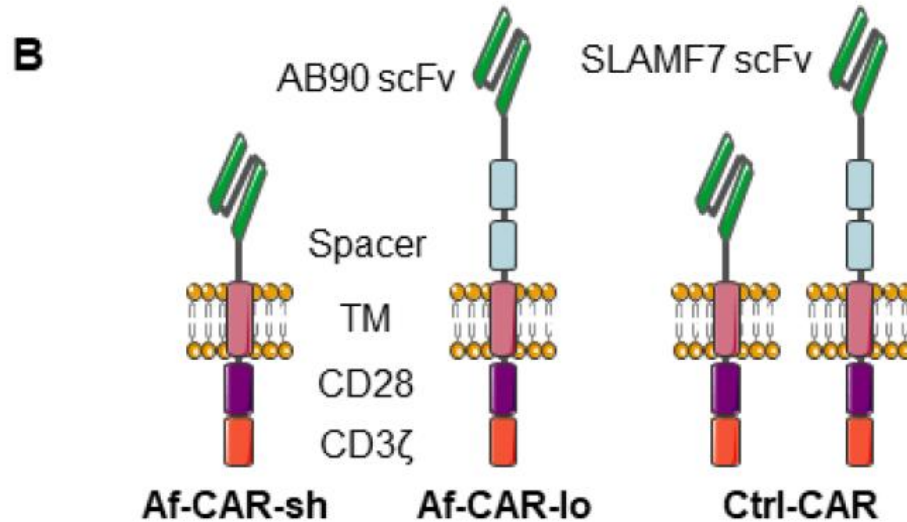
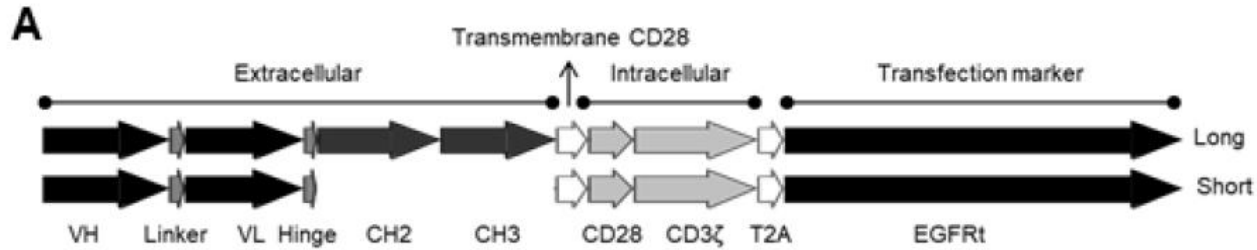


NSG-mice

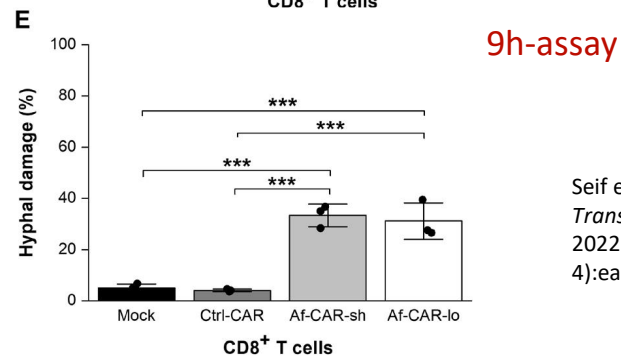
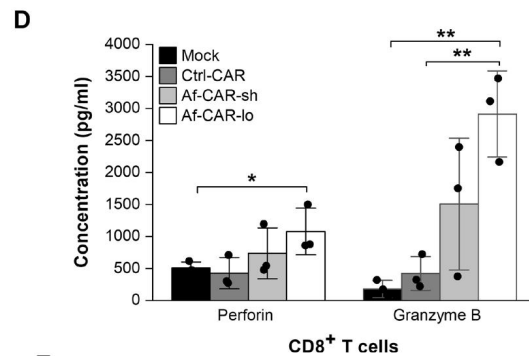
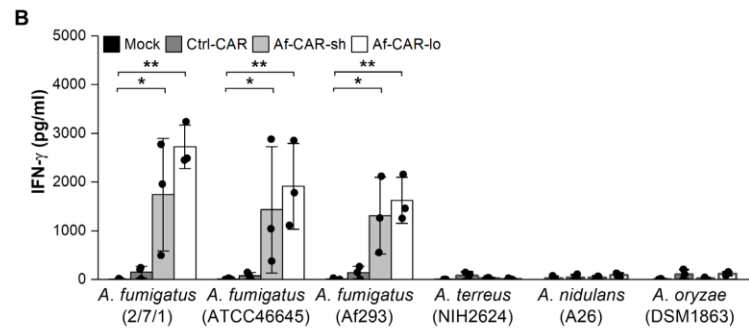
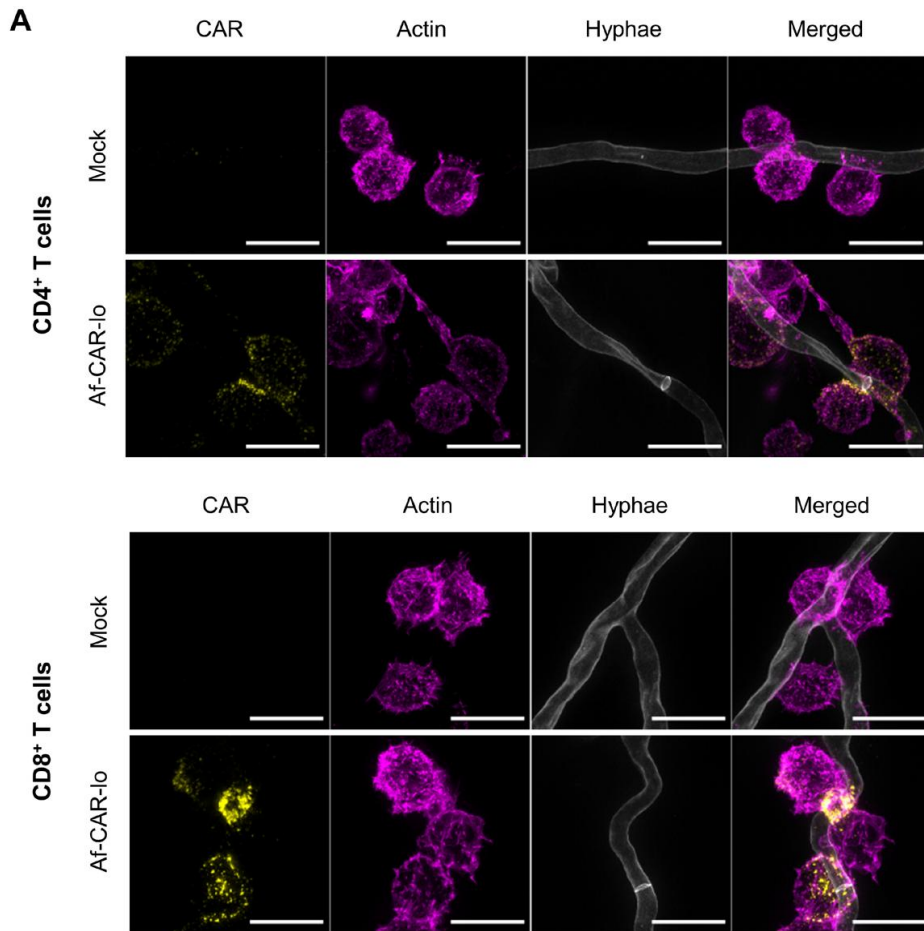


Mortality:
11/12 vs 6/12

↓
**5/6 stable
disease**

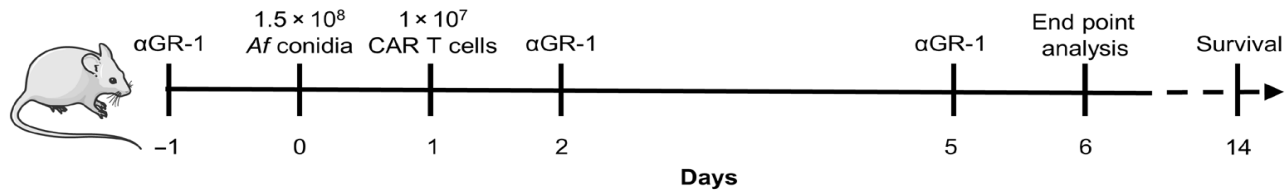


mAb AB90-E8 specifically targets *A. fumigatus* strains, with no reactivity for other *Aspergillus* or fungal species



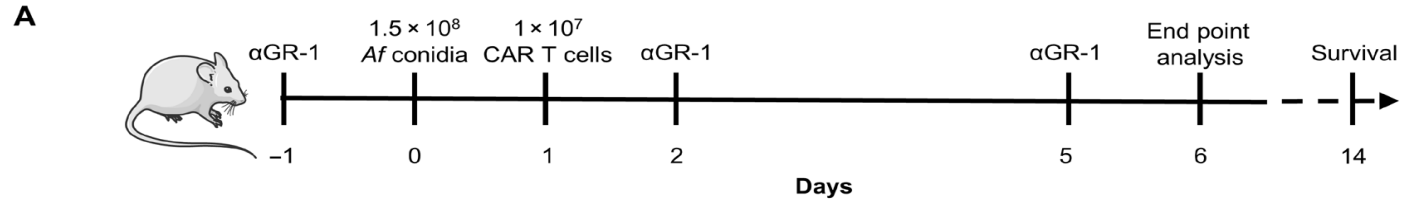
Neutropenic mouse model

A

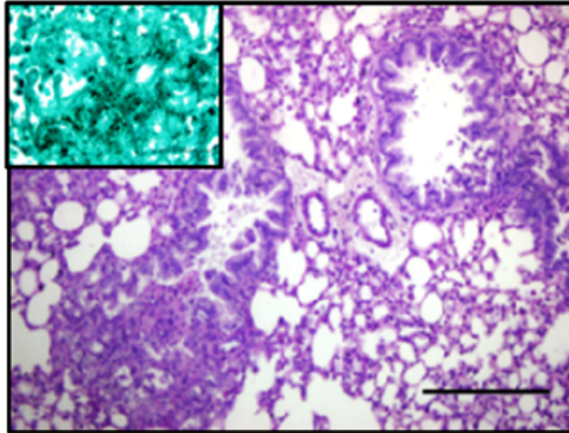


Increased survival
retained
ly weight

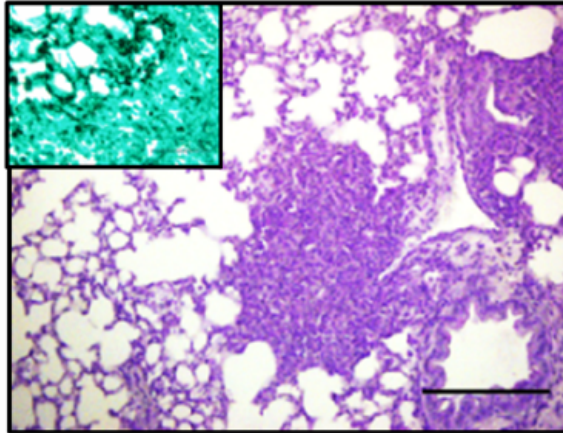
Neutropenic mouse model



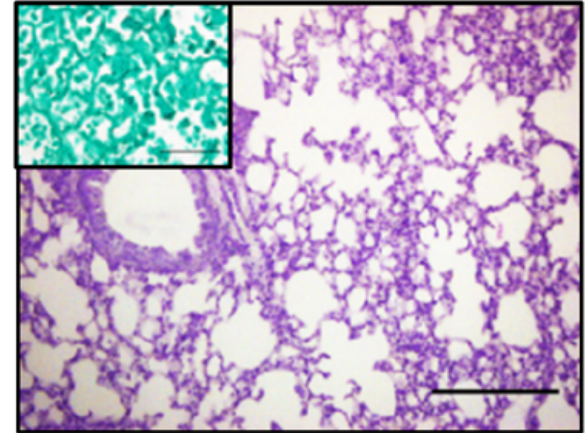
Untreated

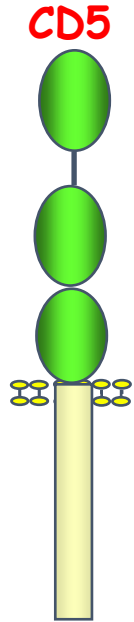


Ctrl-CAR



Af-CAR-lo

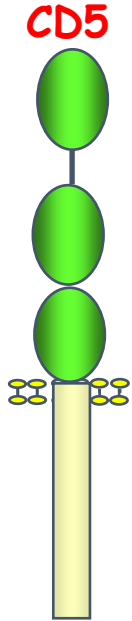




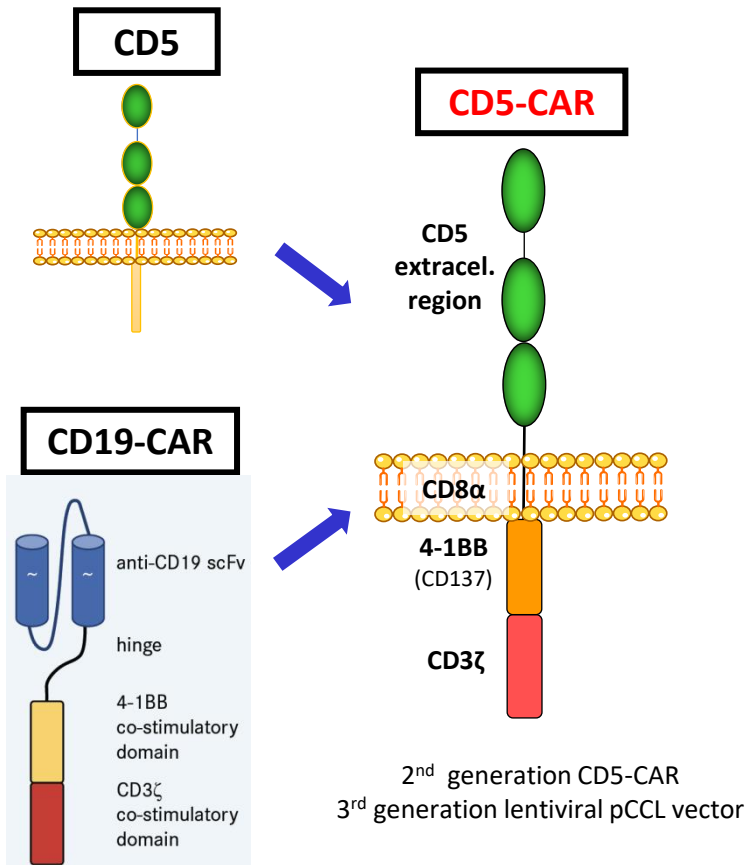
PRR tipo **Scavenger Receptor**

Expresado en Linfos-T, Treg, algunos Linfos-B, y
células dendríticas

Uno de sus principales **ligandos** es el **β -glucano**



- i) La forma soluble de CD5 humano (**shCD5**) aglutina especies fúngicas a través del **reconocimiento del β -glucano**
- ii) La **Kd** de interacción shCD5- β -glucano es similar a la reportada para Dectina-1- β -glucano
- iii) La unión del CD5 a la membrana interactúa con el β -glucano e induce la **señalización intracelular**, y la liberación de **citoquinas**
- iv) Los ratones **deficientes en CD5** son más susceptibles a las **IFIs**
- v) La infusión de shCD5 **reduce la mortalidad** de los ratones sometidos a la inducción de zymosan, así como de *C. albicans* y *C. neoformans*

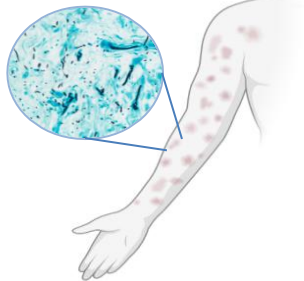


¿Y por qué NKs?

1. No presentan aloreactividad (no EICR)
2. Gran capacidad citotóxica (perforinas, granzimas), apoptosis
3. Opsonización y liberación de citoquinas: INF- γ , TNF- α , GM-CSF...
4. Eficaz en modelos animales
5. Capacidad de memoria inmunológica

Acute myeloid leukemia (AML)

Disseminated fungal infection



❖ Multidrug-resistant *Fusarium petroliphilum* unresponsive to antifungal treatment (liposomal amphotericin B + voriconazole + terbinafine)



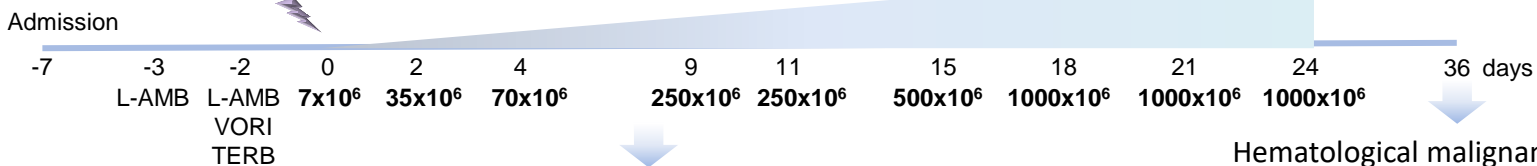
Compassionate use is approved for CD5CAR-NK92 cells treatment:

First-time-in-human use



AEMPS

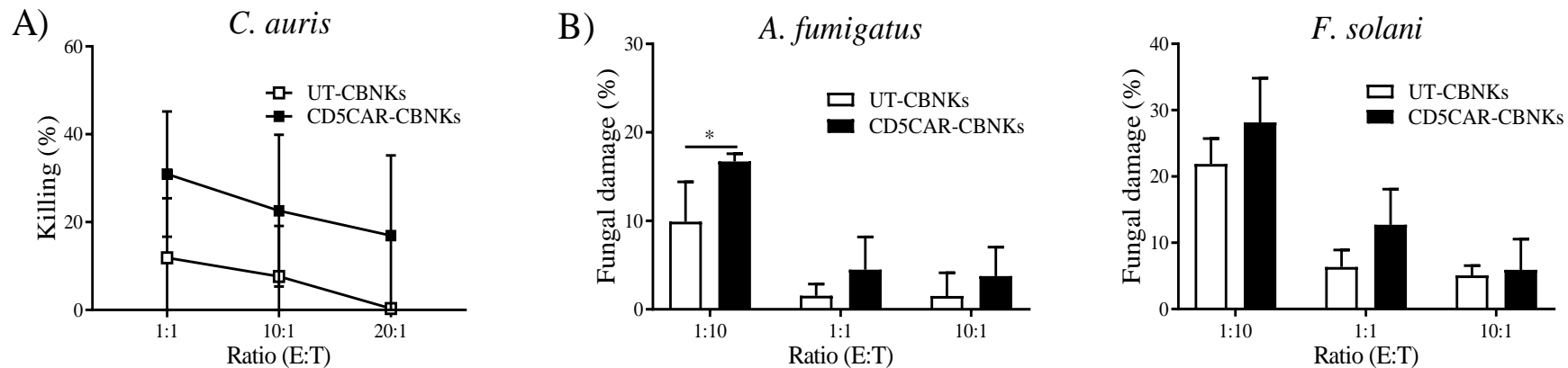
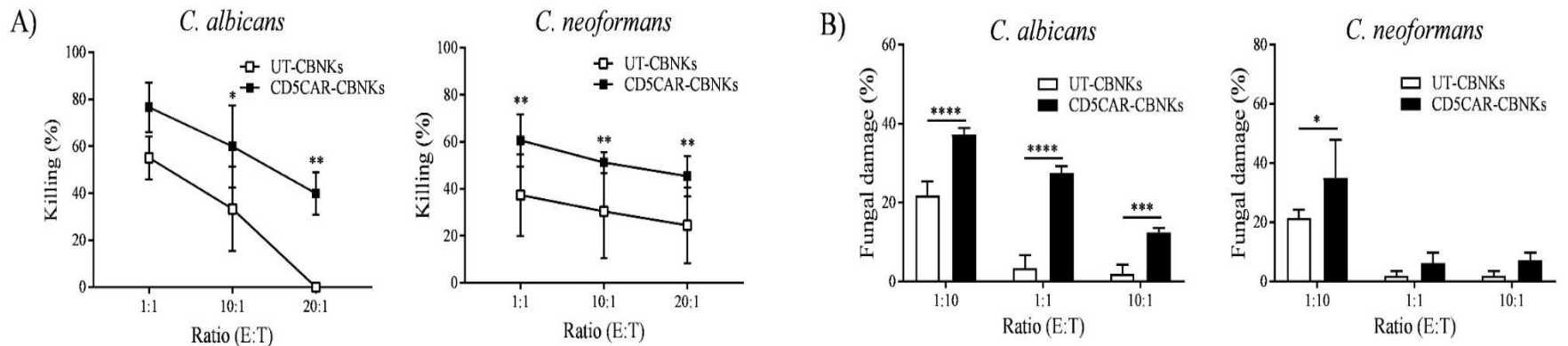
irradiated (10 Gy) CD5CAR-NK cell infusion

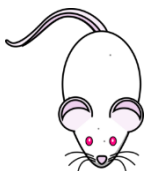


Clinical efficacy assessment:

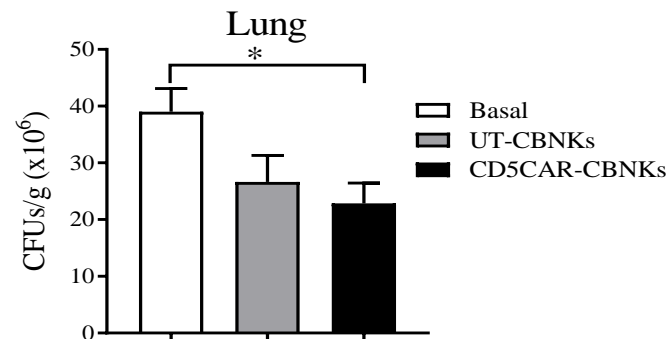
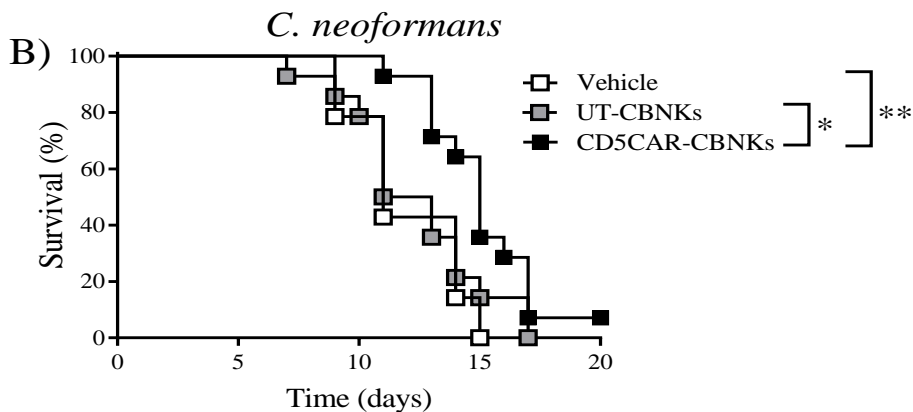
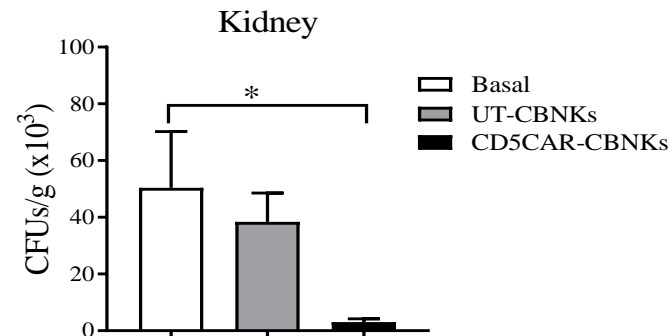
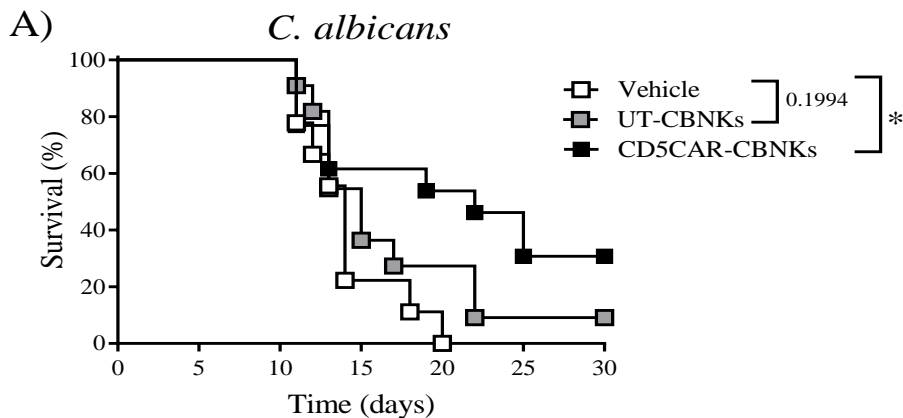
- ❖ Infusions well tolerated; no cytokine release syndrome
- ❖ Persistent fever and cough
- ❖ Chest CT scan showed a dissociated evolution
- ❖ **No appearance of new skin lesions and improvement of some of them**

Hematological malignancy progresses
Patient's comfort is prioritized and finally died





NSG-mice



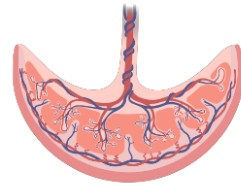
CD5-CAR was associated with **reduced fungal burden, increased survival** of mice, and increased markers of cytotoxicity and **INF- γ**



PROYECTO INVESTIGACIÓN CLÍNICA INDEPENDIENTE

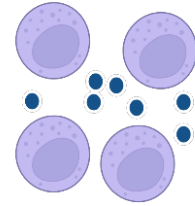
**Células CD5CAR-NK de producción propia para el
tratamiento de la enfermedad fúngica invasiva
refractaria: ensayo clínico de fase I.**

PRODUCCIÓN TERAPIA CD5CAR-NK



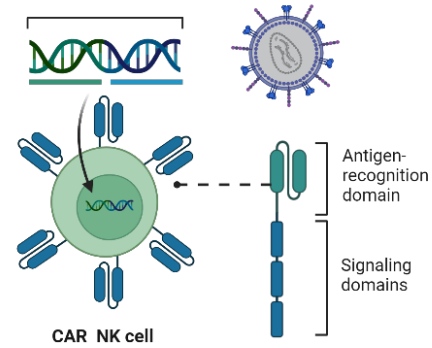
1

NK-cells are obtained from donor cord blood



2

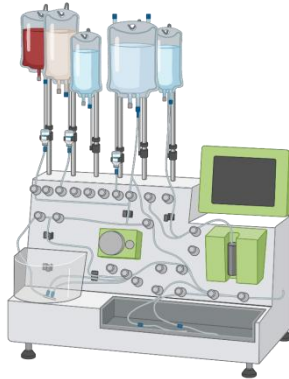
NK-cells are enriched and activated



3

A gene containing the CD5-CAR is inserted into the cell via lentivirus transduction

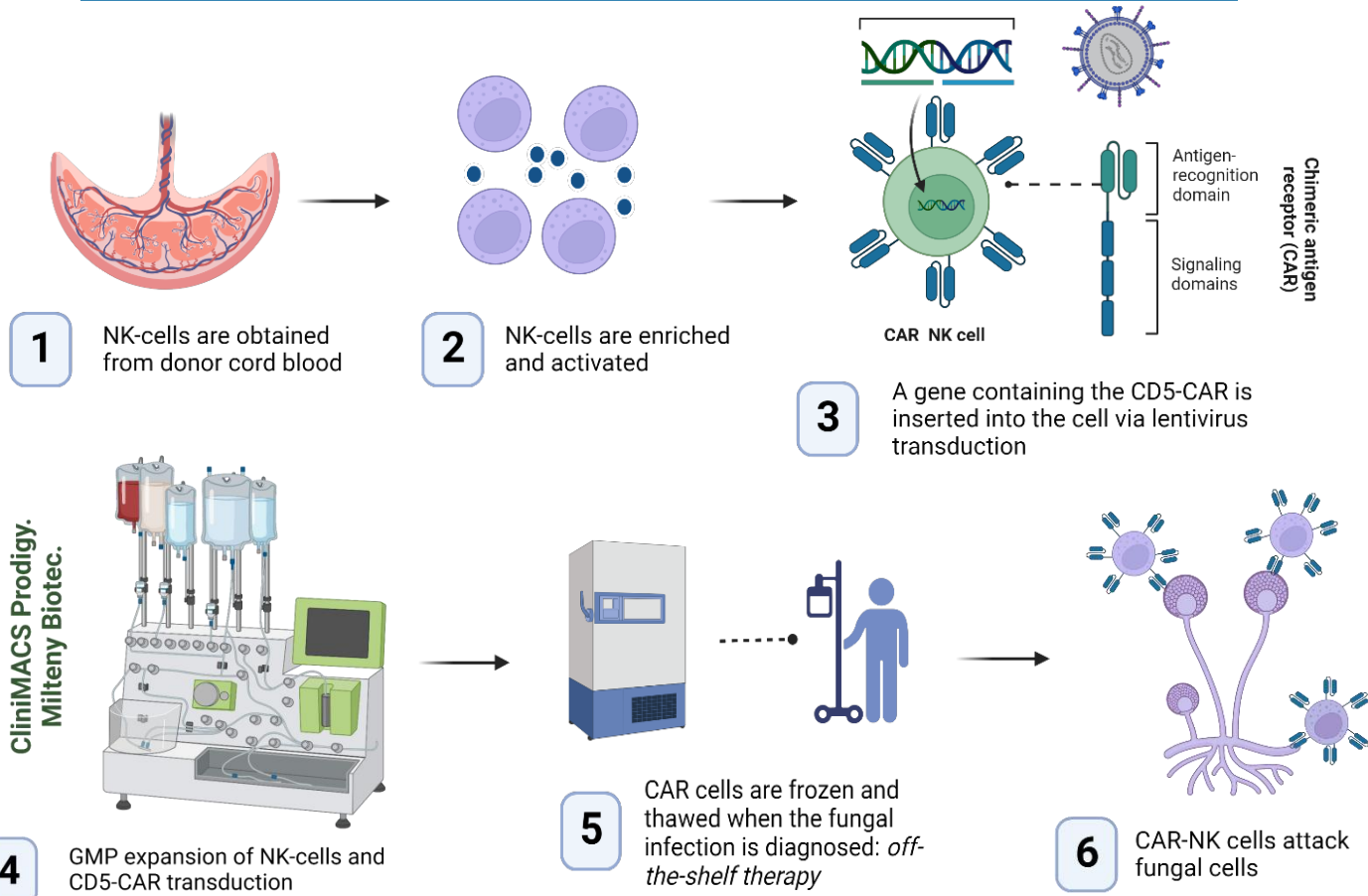
CliniMACS Prodigy.
Milteny Biotec.



4

GMP expansion of NK-cells and CD5-CAR transduction

PRODUCCIÓN TERAPIA CD5CAR-NK





¡¡GRACIAS!!

Mail: ppuerta@lluia.org



@PedroPuerta84